



Министерство науки и высшего образования Российской Федерации
Федеральное государственное бюджетное образовательное учреждение
высшего образования
«Московский государственный технический университет
имени Н. Э. Баумана
(национальный исследовательский университет)»
(МГТУ им. Н. Э. Баумана)

ФАКУЛЬТЕТ _____ Фундаментальные науки

КАФЕДРА _____ Прикладная математика

Лабораторная работа №2

Численное решение краевых задач для одномерного уравнения теплопроводности

Студенты _____
ФН2-62Б
(Группа)

З.И. Абрамов, Г.А. Швецов
(И. О. Фамилия)

Преподаватель _____

С.А. Конев
(И. О. Фамилия)

2023 г.

Оглавление

1. Контрольные вопросы	3
2. Результаты	15
2.1. Проверка консервативности	15
2.2. График погрешности в случае $K(u)$	16
2.3. Оценка порядка сходимости	17
Список использованных источников	19

1. Контрольные вопросы

1. Дайте определения терминам: корректно поставленная задача, понятие аппроксимации дифференциальной задачи разностной схемой, порядок аппроксимации, однородная схема, консервативная схема, монотонная схема, устойчивая разностная схема (условно/абсолютно), сходимость.

Задача называется **корректно поставленной**, если ее решение существует, единственно и непрерывно зависит от входных данных. Если же не выполнено хотя бы одно из этих условий, то **задача** называется **некорректно поставленной**.

Рассмотрим точную задачу

$$Au = f \text{ в } G, \quad Ru = \mu \text{ на } \Gamma$$

и «заменяющую» ее разностную схему

$$A_h u = \varphi \text{ в } G_h, \quad R_h u = \nu \text{ на } \Gamma_h.$$

В этом случае

$$\psi_h = (\varphi - f_h) + ((Av)_h - A_h v_h), \quad \chi_h = (\nu - \mu_h) + ((Rv)_h - R_h v_h) -$$

погрешности аппроксимации разностной задачи (для общего случая произвольной функции v) в G_h и на Γ_h соответственно.

Разностная схема аппроксимирует исходную задачу, если $\|\psi_h\|_\psi \rightarrow 0$, $\|\chi_h\|_\chi \rightarrow 0$ при $h \rightarrow 0$; аппроксимация имеет p -й порядок ($p > 0$), если $\|\psi_h\|_\psi = O(h^p)$, $\|\chi_h\|_\chi = O(h^p)$ при $h \rightarrow 0$. В многомерном случае под h можно понимать вектор из шагов сетки (в двумерном случае вектор из шага по времени τ и пространству h), а под p — мультииндекс.

Разностные схемы, в которых расчет ведется по одним формулам и на одном шаблоне во всех узлах сетки без какого-то специального выделения имеющихся особенностей, называются **однородными**.

Разностные схемы называют **консервативными** (дивергентными), если их решение удовлетворяет дискретному аналогу закону сохранения (баланса), присущему исходной задаче. В противном случае схему называют **неконсервативной**, или дисбалансной.

Схемы, решение которых удовлетворяет принципу максимума или сохраняет пространственную монотонность (в одномерном случае) при условии, что соответствующие свойства справедливы для исходных задач, называются **монотонными**.

Пусть y^I, y^{II} — решения двух разностных задач с одинаковым оператором, соответствующие правым частям φ^I, φ^{II} и граничным условиям ν^I, ν^{II} .

Разностную схему называют **устойчивой**, если решение уравнений разностной схемы непрерывно зависит от входных данных и эта зависимость равномерна по h , т.е.

$$\forall \varepsilon \exists \delta(\varepsilon) > 0 : \|\varphi^I - \varphi^{II}\|_\varphi < \delta, \|\nu^I - \nu^{II}\|_\nu < \delta \Rightarrow \|y^I - y^{II}\|_Y < \varepsilon.$$

При этом отдельно можно отметить, что значение δ не зависит от шага сетки h . В случае нескольких независимых переменных **устойчивость** называют **безусловной** (или абсолютной), если устойчивость имеет место для любого соотношения шагов, и **условной** в противном случае.

Разностное решение y сходится к решению u точной задачи, если $\|y - p_h u\|_Y \rightarrow 0$ при $h \rightarrow 0$. Говорят, что имеет место **сходимость** с p -м ($p > 0$) порядком, если $\|y - p_h u\|_Y = O(h^p)$ при $h \rightarrow 0$.

2. *Какие из рассмотренных схем являются абсолютно устойчивыми? Какая из рассмотренных схем позволяет вести расчеты с более крупным шагом по времени?*

Для исследования на устойчивость применим принцип замороженных коэффициентов, т.е. примем, что $a_i = a_{i+1} = a$. Тогда смешанная схема примет следующий вид:

$$c\rho \frac{y_i^{j+1} - y_i^j}{\tau} = \sigma a \frac{y_{i+1}^{j+1} - 2y_i^{j+1} + y_{i-1}^{j+1}}{h^2} + (1 - \sigma)a \frac{y_{i+1}^j - 2y_i^j + y_{i-1}^j}{h^2}.$$

Далее воспользуемся методом разделения переменных и разложим y по собственным функциям оператора второй разностной производной, т.е.

$$y_i^j = \sum_{k=1}^{n-1} c_k^j \mu_{k,i}, \quad \mu_{k,\bar{x}x} + \lambda_k^2 \mu_k = 0, \quad \lambda_k = \frac{4}{h^2} \sin \frac{\pi k h}{2l}.$$

Здесь $\mu_{k,i} = \sin \frac{\pi k i h}{l}$, $k = \overline{1, n-1}$ — собственные функции разностной производной. Подставляя в схему, получаем следующее выражение:

$$\begin{aligned} c\rho \sum_{k=1}^{n-1} \frac{c_k^{j+1} - c_k^j}{\tau} \mu_{k,i} &= a \sum_{k=1}^{n-1} (-\lambda_k^2 \sigma c_k^{j+1} \mu_{k,i}) + a \sum_{k=1}^{n-1} (-\lambda_k^2 (1 - \sigma) c_k^j \mu_{k,i}), \\ \sum_{k=1}^{n-1} \left(c\rho \frac{c_k^{j+1} - c_k^j}{\tau} \right) \mu_{k,i} &= \sum_{k=1}^{n-1} -\lambda_k^2 a (\sigma c_k^{j+1} + (1 - \sigma) c_k^j) \mu_{k,i}. \end{aligned}$$

В силу ортогональности функций μ_k для любого $k = \overline{1, n-1}$ должно выполняться равенство

$$c\rho \frac{c_k^{j+1} - c_k^j}{\tau} = -\lambda_k^2 a (\sigma c_k^{j+1} + (1 - \sigma) c_k^j).$$

Из этого следует, что коэффициент у j -й гармоники меняется в

$$\varrho_j = \frac{1 - \lambda_k^2 \tilde{a}(1 - \sigma)}{1 + \lambda_k^2 \tilde{a}\sigma}, \quad \text{где } \tilde{a} = \frac{a\tau}{c\rho}.$$

Для устойчивости требуется, чтобы $|\varrho_j| \leq 1$. Т.к. знаменатель положителен, то неравенство записывается как

$$-(1 + \lambda_k^2 \tilde{a}\sigma) \leq 1 - \lambda_k^2 \tilde{a} + \lambda_k^2 \tilde{a}\sigma \leq 1 + \lambda_k^2 \tilde{a}\sigma.$$

Заметим, что правая часть неравенства автоматически выполнена. Тогда получаем, что

$$2\lambda_k^2 \tilde{a}\sigma \geq \lambda_k^2 \tilde{a} - 2, \quad \sigma \geq \frac{1}{2} - \frac{1}{\lambda_k^2 \tilde{a}}, \quad \sigma \geq \frac{1}{2} - \frac{c\rho h^2}{4a\tau}.$$

Данное неравенство должно выполняться при любых a . Таким образом, условие устойчивости записывается как

$$\sigma \geq \frac{1}{2} - \frac{c\rho h^2}{4a_{\max}\tau}.$$

Из него же следует, что схема абсолютно устойчива при $\sigma \geq \frac{1}{2}$.

В обоснование принципа замороженных коэффициентов можно привести следующее рассуждение на эвристическом уровне строгости. При измельчении сетки коэффициент $a(x, t)$ в окрестности точки (x^*, t^*) за любое фиксированное число шагов сетки длины h по пространству и длины τ по времени ввиду непрерывности функции $a(x, t)$ меняется все меньше и все меньше отличается от значения $a(x^*, t^*)$. Поэтому при мелкой сетке возмущения, наложенные на решение задачи с переменным коэффициентом в момент времени $t = t^*$ в окрестности точки $x = x^*$ развиваются примерно так же, как для задачи с постоянным коэффициентом, равным $a(x^*, t^*)$ [3].

Также принцип можно обосновать тем, что решение должно быть устойчивым при любом диапазоне значений a , даже при самом "плохом". Поэтому можно исходить из того, что мы выбрали то самое плохое значение и исследовать схему при нем. В конце вывода условия мы определили, что таким "плохим" значением является максимальное значение функции a .

Используя Wolfram Mathematica, можно достаточно легко найти порядок аппроксимации ψ_h . При наложении условий, полученных в третьем контрольном вопросе, и при применении описанного там же процесса приходим к тому, что

$$\psi_h = \left[\left(K'(x_i) - 2\sigma \frac{a_{i+1} - a_i}{h} \right) \frac{u_{i,xt}^j}{2} + (K(x_i) - \sigma(a_i + a_{i+1})) \frac{u_{i,xtt}^j}{2} \right] \tau + O(h^2 + \tau^2).$$

Заметим, что в случае наложенных условиях на a_i только при $\sigma = \frac{1}{2}$ порядок схемы по времени становится равным 2. Таким образом, симметричная схема позволяет вести расчеты с более крупным шагом.

3. Будет ли смешанная схема (2.15) иметь второй порядок аппроксимации при $a_i = \frac{2K(x_i)K(x_{i-1})}{K(x_i) + K(x_{i-1})}$?

Найдем порядок аппроксимации смешанной схемы в случае произвольного a_i :

$$\begin{aligned} \psi_h = c\rho \frac{u_i^{j+1} - u_i^j}{\tau} - \frac{1}{h} \left[\sigma \left(a_{i+1} \frac{u_{i+1}^{j+1} - u_i^{j+1}}{h} - a_i \frac{u_i^{j+1} - u_{i-1}^{j+1}}{h} \right) + \right. \\ \left. + (1 - \sigma) \left(a_{i+1} \frac{u_{i+1}^j - u_i^j}{h} - a_i \frac{u_i^j - u_{i-1}^j}{h} \right) \right] = c\rho \frac{u_i^{j+1} - u_i^j}{\tau} - \frac{1}{h^2} \cdot \\ \left[\sigma (a_{i+1}(u_{i+1}^{j+1} - u_i^{j+1}) - a_i(u_i^{j+1} - u_{i-1}^{j+1})) + (1 - \sigma) (a_{i+1}(u_{i+1}^j - u_i^j) - a_i(u_i^j - u_{i-1}^j)) \right]. \end{aligned}$$

Используя замену $\tau \rightarrow \alpha\tau$, $h \rightarrow \alpha h$ в аргументах функции решения u , исходное уравнение теплопроводности и систему компьютерной алгебры Wolfram Mathematica, можно разложить ψ_h в ряд по α в нуле и взять значение $\alpha = 1$. Таким образом можно построить разложение по h и τ . Приведем результат:

$$\begin{aligned} \psi_h = \left[- \left(\frac{a_{i+1} - a_i}{h} - K'(x_i) \right) u_{i,x}^j - \left(\frac{a_{i+1} - a_i}{2} - K(x_i) \right) u_{i,xx}^j \right] + \\ + \left[\frac{1}{6} (a_i - a_{i+1}) u_{i,xxx}^j \right] h + O(\tau) + O(h^2) + O(h\tau). \end{aligned}$$

Т.к. $O(h\tau) = O(h^2 + \tau^2)$, то для второго порядка аппроксимации по пространству достаточно выполнения следующий условий:

$$\begin{cases} \frac{a_{i+1} - a_i}{h} = K'(x_i) + O(h^2), \\ \frac{a_{i+1} - a_i}{2} = K(x_i) + O(h^2), \\ a_i - a_{i+1} = O(h). \end{cases}$$

Заметим, что из выполнения первого условия автоматически следует выполнение третье. В итоге получаем, что достаточные условия для второго порядка по пространству смешанной схемы такие же, как и у схемы с параметром $\sigma = 1$:

$$\begin{cases} \frac{a_{i+1} - a_i}{h} = K'(x_i) + O(h^2), \\ \frac{a_{i+1} - a_i}{2} = K(x_i) + O(h^2). \end{cases}$$

Применяя, к примеру, команду Series системы Wolfram Mathematica, нетрудно убедиться, что $a_i = \frac{2K(x_i)K(x_{i-1})}{K(x_i) + K(x_{i-1})}$ удовлетворяет полученным требованиям. Таким образом, при использовании указанных a_i численная схема будет обладать вторым порядком аппроксимации по пространству.

4. Какие методы (способы) построения разностной аппроксимации граничных условий (2.5), (2.6) с порядком точности $O(\tau + h^2)$, $O(\tau^2 + h^2)$ и $O(\tau^2 + h)$ вы знаете?

Условия (2.5) и (2.6) имеют вид:

$$-K(u, 0) \frac{\partial u}{\partial x} \bigg|_{(0,t)} = P(t) \quad \text{и} \quad K(u, L) \frac{\partial u}{\partial x} \bigg|_{(L,t)} = P(t).$$

Граничные условия можно аппроксимировать следующими способами.

Метод разностной аппроксимации заключается в том, что каждая производная, входящая в дифференциальное уравнение и краевые условия, заменяется каким-либо разностным (включающим только узлы шаблона). Для достижения нужного порядка аппроксимации необходимо использовать разностные аналоги производных соответствующего порядка. Например, в граничных условиях, указанных выше, можно заменить производную на ее разностный аналог в виде производной назад и получить первый порядок по пространству и бесконечный по времени. Также можно применить другие разностные производные, например, получаемые при выводе методов Адамса — Бэшфорда.

Интегро-интерполяционный метод. При использовании данного метода дифференциальное уравнение интегрируется по ячейке и приводят к интегральной форме, соответствующей физическому закону сохранения. Приближенно вычисляя полученные интегралы по каким-либо квадратурным формулам, составляют разностную схему. Именно выбор квадратурных формул и ячейки интегрирования определяют порядок аппроксимации численной схемы. Например, в методическом пособии при выводе схемы с весами для достижения второго порядка по пространству используется квадратурная формула центральных прямоугольников, имеющая как раз второй порядок.

Метод неопределенных коэффициентов заключается в том, что в качестве разностной схемы берут линейную комбинацию значений разностного решения в узлах заданного шаблона. Коэффициенты этой линейной комбинации определяют из условия, чтобы невязка схемы имела необходимый порядок малости относительно τ и h .

Для уравнения теплопроводности $u_t = ku_{xx}$ можно искать разностную схему в следующем виде:

$$\alpha \hat{y}_{n-1} + \beta \hat{y}_n + \gamma \hat{y}_{n+1} + \delta y_n = 0.$$

Разложим выражение и вычтем его схему выше:

$$\begin{aligned}\psi_h = u_t - ku_{xx} - (\alpha + \beta + \gamma + \delta)u + \tau\delta u_t + (\alpha - \gamma)hu_x - \\ - \frac{1}{2}(\alpha + \gamma)hu_{xx} + \delta O(\tau^2) + (\alpha - \gamma)O(h^3) + \dots\end{aligned}$$

Таким образом, для получения второго порядка по времени и третьего по пространству надо положить

$$\alpha + \beta + \gamma + \delta = 0, \quad \tau\delta = -1, \quad \alpha - \gamma = 0, \quad \frac{1}{2}(\alpha + \gamma)h^2 = -k.$$

Решив полученные уравнения, находим коэффициенты схемы.

Метод фиктивной точки заключается в добавлении дополнительного узла вне области сетки. Приведем пример для уравнения вида $u_t = ku_{xx}$ и условия $u_x(0, t) = \mu(t)$. Введем вне области интегрирования фиктивную точку $x_{-1} = x_0 - h$ и будем считать исходное уравнение справедливым при $x_{-1} \leq x$. Тогда можно составить разностную схему при $i = 0$:

$$\frac{1}{\tau}(\hat{y}_0 - y_0) = \frac{k}{h^2}(y_{-1} - 2y_0 + y_1).$$

Заменим в краевом условии производную симметричной разностью:

$$\frac{1}{2h}(y_{-1} - y_0) = \mu(t_j).$$

Из данных двух уравнений можно исключить фиктивную точку и получить разностный аналог краевого условия:

$$\frac{1}{h}(y_1 - y_0) = \mu(t_j) + \frac{h}{2k\tau}(\hat{y}_0 - y_0).$$

Можно заметить, что получившаяся схема является явной.

Для получения разных порядков аппроксимации можно менять первое и второе разностные уравнения.

5. При каких h , τ и σ смешанная схема монотонна? Проиллюстрируйте результатами расчетов свойства монотонных и немонотонных разностных схем.

Для проверки на монотонность приведем схему к следующему виду:

$$A(x)y(x) = \sum_{\xi \in S'(x)} B(x, \xi)y(\xi) + F(x), \quad x \in G_h,$$

В данном случае $F \equiv 0$. Исходная схема записывается подобным образом:

$$\begin{aligned}c\rho \frac{y_i^{j+1} - y_i^j}{\tau} = \frac{1}{h^2} \left[\sigma (a_{i+1}(y_{i+1}^{j+1} - y_i^{j+1}) - a_i(y_i^{j+1} - y_{i-1}^{j+1})) + \right. \\ \left. + (1 - \sigma) (a_{i+1}(y_{i+1}^j - y_i^j) - a_i(y_i^j - y_{i-1}^j)) \right].\end{aligned}$$

Сгруппировав слагаемые при одинаковых значениях сеточной функции, получаем необходимый вид разностной схемы:

$$\begin{aligned} \left(\frac{\sigma(a_{i+1} + a_i)}{h^2} + \frac{c\rho}{\tau} \right) y_i^{j+1} = & \left(\frac{\sigma a_{i+1}}{h^2} \right) y_{i+1}^{j+1} + \left(\frac{\sigma a_i}{h^2} \right) y_{i-1}^{j+1} + \\ & + \left(\frac{(1-\sigma)a_{i+1}}{h^2} \right) y_{i+1}^j + \left(\frac{(1-\sigma)a_i}{h^2} \right) y_{i-1}^j + \left(\frac{c\rho}{\tau} - \frac{(1-\sigma)(a_{i+1} + a_i)}{h^2} \right) y_i^j. \end{aligned}$$

Условие положительности коэффициентов определяется как

$$A(x) > 0, \quad D(x) = A(x) - \sum_{\xi \in S'(x)} B(x, \xi) \geq 0, \quad B(x, \xi) > 0, \quad \xi \in S'(x).$$

Проверим его:

$$\begin{aligned} A(x) = \frac{\sigma(a_{i+1} + a_i)}{h^2} + \frac{c\rho}{\tau} &> 0 \text{ — верно,} \\ D(x) = 0 &\geq 0 \text{ — верно (все слагаемые сокращаются).} \end{aligned}$$

В последнем условии все коэффициенты $B(x, \xi)$ кроме одного больше нуля. Этот коэффициент и создает достаточные условия монотонности:

$$\frac{c\rho}{\tau} > \frac{(1-\sigma)(a_{i+1} + a_i)}{h^2}.$$

Если взять в качестве $a_i = \frac{K(x_i) + K(x_{i-1})}{2}$, то $a_{i+1} + a_i = \frac{K(x_{i+1}) + 2K(x_i) + K(x_{i-1}))}{2}$ и условие принимает следующий вид:

$$\frac{h^2}{\tau(1-\sigma)} > \frac{2\tilde{K}}{c\rho}, \quad \text{где } \tilde{K} = \max_{0 \leq x \leq L} K(x).$$

Монотонный случай. Для иллюстрации монотонности возьмем явную схему ($\sigma = 0$) и уравнение с $K \equiv 1$, $c\rho = 1$, $L = 1$. Тогда условие монотонности достаточное записывается как $\tau < h^2/2$.

В качестве начального условия примем $u(x, 0) = 5 + x(1 - x)$, а граничных условий $u(0, t) = u(1, t) = 5$. Интегрировать будем на временном отрезке $[0, 1]$. Тогда при $h = 0.1$, $\tau = 0.005$ будем наблюдать монотонность численного решения (рис. 1).

Немонотонный случай. В случае же $h = 0.1$, $\tau = 1.0$, $\sigma = 0.5$ и задании на границах нулевого потока монотонность (пространственная) отсутствует (серия графиков с разных временных слоев представлена рис. 2).

Условия устойчивости и нарушения монотонности (на основе необходимого и достаточного условия монотонности схемы с весами для уравнения теплопроводности с постоянными коэффициентами [2]):

$$\begin{cases} \sigma \geq \frac{1}{2} - \frac{h^2}{4K\tau}, \\ \tau \geq \frac{(2-\sigma)h^2}{4K(1-\sigma)^2}. \end{cases}$$

Для немонотонного примера эти условия выполняются.

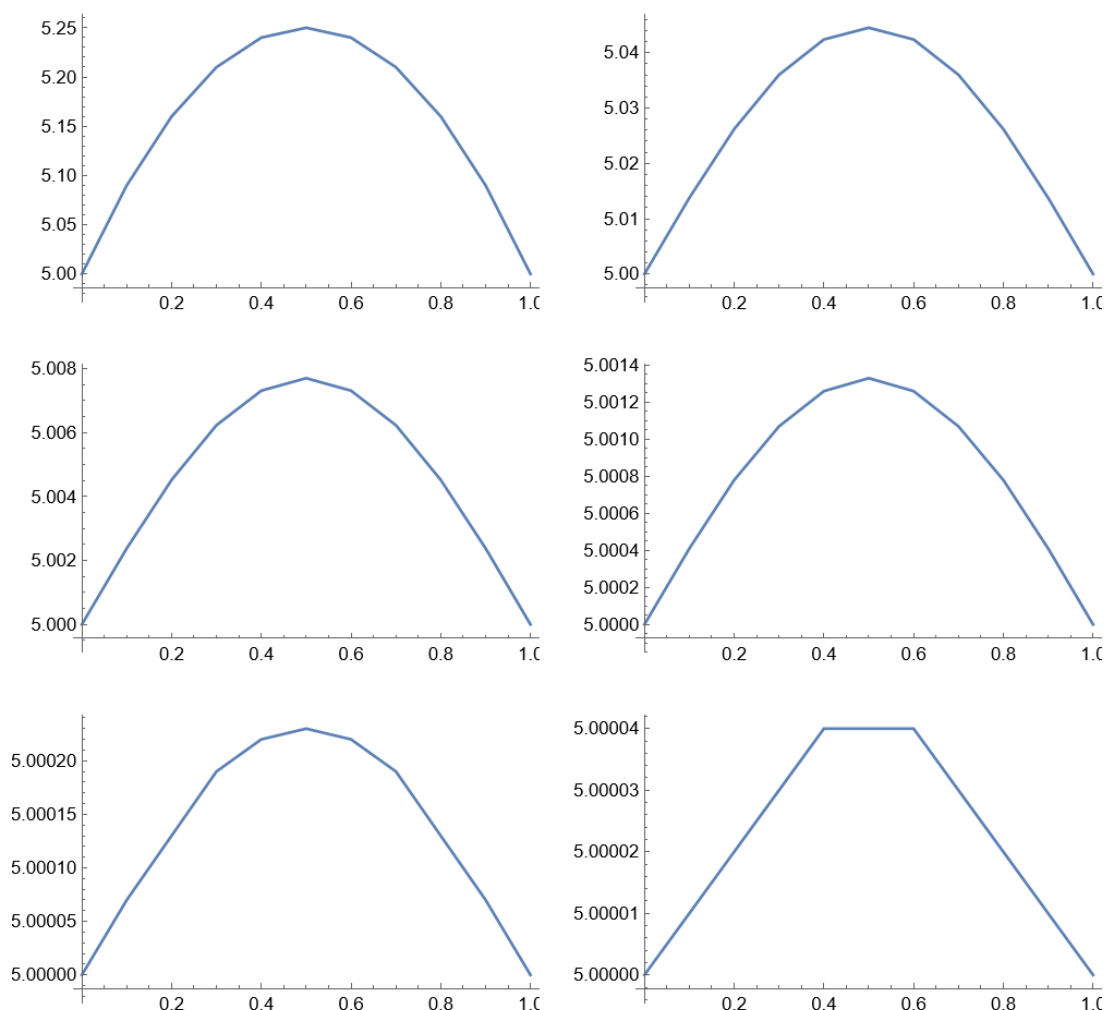


Рис. 1. Иллюстрация монотонности

6. Какие ограничения на h , τ и σ накладывают условия устойчивости прогонки?

Однородная консервативная разностная схема для уравнения теплопроводности:

$$c\rho \frac{\hat{y}_i - y_i}{\tau} = \frac{1}{h} \left[\sigma \left(\hat{k}_{i+\frac{1}{2}} \frac{\hat{y}_{i+1} - \hat{y}_i}{h} - k_{i-\frac{1}{2}} \frac{\hat{y}_i - \hat{y}_{i-1}}{h} \right) + (1 - \sigma) \left(k_{i+\frac{1}{2}} \frac{y_{i+1} - y_i}{h} - k_{i-\frac{1}{2}} \frac{y_i - y_{i-1}}{h} \right) \right]$$

Разностная задача решается методом прогонки:

$$A_i \hat{y}_{i-1} - C_i \hat{y}_i + B_i \hat{y}_{i+1} = -F_i, \quad i = 1, 2, \dots, N-1,$$

$$\hat{y}_0 = u_0, \quad \hat{y}_N = \varkappa \hat{y}_{N-1} + \mu,$$

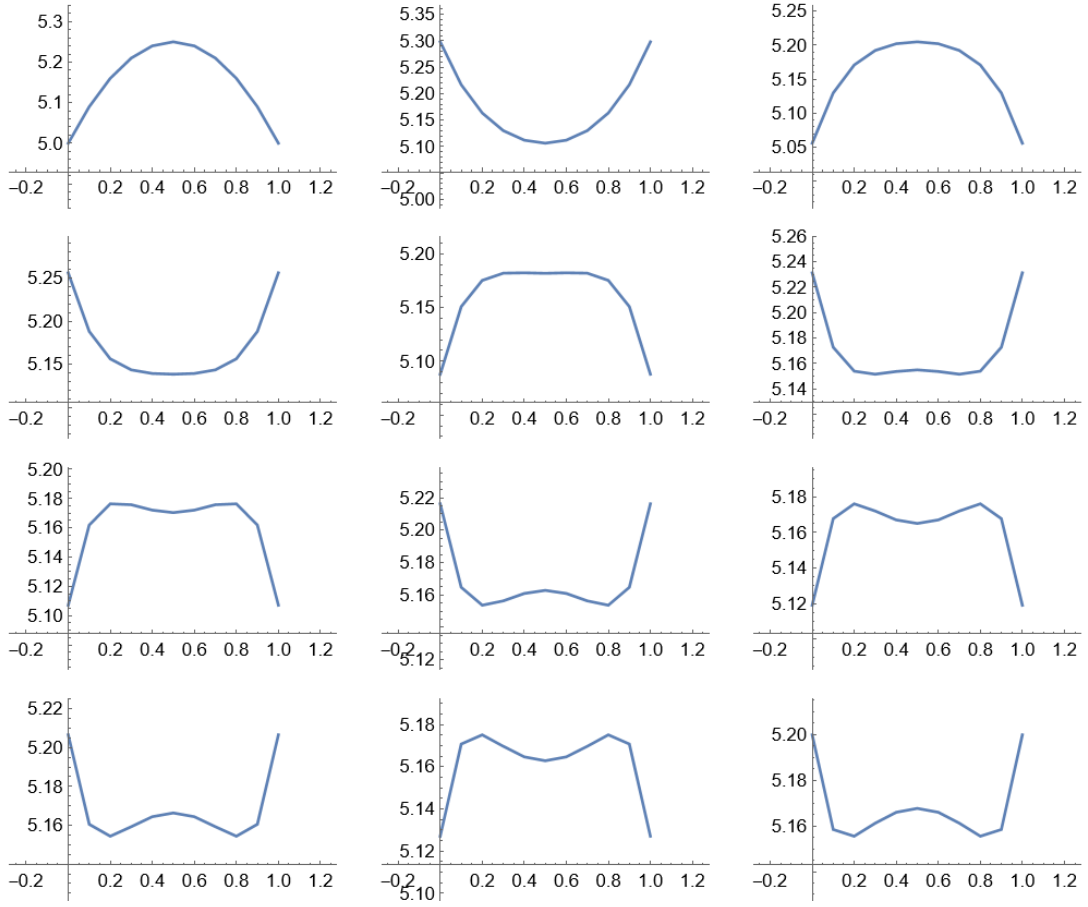


Рис. 2. Иллюстрация отсутствия монотонности

где

$$\begin{aligned}
 A_i &= \frac{\sigma}{h} a_i, \quad B_i = \frac{\sigma}{h} a_{i+1}, \quad C_i = \frac{\sigma}{h} a_i + \frac{\sigma}{h} a_{i+1} + c\rho \frac{h}{\tau}, \\
 F_i &= c\rho \frac{h}{\tau} y_i + (1 - \sigma)(w_{i+\frac{1}{2}} - w_{i-\frac{1}{2}}), \\
 \varkappa &= \frac{\sigma a_N / N}{c\rho h / (2\tau) + \sigma a_N / h}, \\
 \mu &= \frac{c\rho y_N h / (2\tau) + \sigma P(t_{j+1}) + (1 - \sigma)(P(t_j) - w_{N-\frac{1}{2}})}{c\rho h / (2\tau) + \sigma a_N / h}.
 \end{aligned}$$

Определение. Метод прогонки называется **корректным**, если знаменатели в формулах для прогоночных коэффициентов не обращаются в нуль, и **устойчивым**, если все прогоночные коэффициенты $|\alpha_i| \leq 1$.

Теорема. Пусть в трехдиагональной матрице выполнено **условие диагонального преобладания**

$$|C_i| \geq |A_i| + |B_i|, \quad i = 1, \dots, n,$$

в котором хотя бы для одного i выполнено строгое неравенство, $|C_1| > 0$ и $|B_i| > 0, i = 2, \dots, n - 1$. Тогда система уравнений с такой матрицей имеет

решение, которое может быть получено методом прогонки. Алгоритм прогонки в указанных условиях устойчив и корректен.

$$\left| \frac{\sigma}{h} a_i + \frac{\sigma}{h} a_{i+1} + c\rho \frac{h}{\tau} \right| \geq \left| \frac{\sigma}{h} a_i \right| + \left| \frac{\sigma}{h} a_{i+1} \right|, \quad i = 1, \dots, N-1.$$

Условия теоремы выполнены, значит метод прогонки устойчив.

Ограничения за счет граничных условий (условия I рода никак не повлияют на устойчивость прогонки, т.к. они влияют только на F_1 и F_{N-1} , которые никак не упоминаются в теореме):

$$\varkappa \hat{y}_{N-1} - \hat{y}_N = -\mu, \quad \text{где } A_N = \varkappa, \quad C_N = 1, \quad F_N = \mu,$$

$$|C_N| = 1 \geq \left| \frac{\sigma a_N/h}{c\rho h/(2\tau) + \sigma a_N/h} \right| = |A_N|,$$

$$-1 \leq \frac{\sigma a_N/h}{c\rho h/(2\tau) + \sigma a_N/h} \leq 1,$$

Т.к. $c > 0$, $\rho > 0$, $h > 0$, $\tau > 0$, $0 \leq \sigma \leq 1$, получаем

$$0 \leq \frac{\sigma a_N/h}{c\rho h/(2\tau) + \sigma a_N/h} \leq 1$$

Таким образом, получаем, что для $0 \leq \sigma \leq 1$, $\tau > 0$, $h > 0$ прогонка будет устойчивой. При задании теплового потока на левом конце аналогично.

7. В случае $K = K(u)$ чему равно количество внутренних итераций, если итерационный процесс вести до сходимости, а не обрывать после нескольких первых итераций?

Возьмем пример из методического пособия.

$$\frac{\partial u}{\partial t} = \frac{\partial}{\partial t} \left(\varkappa_0 u^\sigma \frac{\partial u}{\partial x} \right), \quad x > 0, \quad t > 0,$$

$$u(x, 0) = 0, \quad u(0, t) = u_0 t^{1/\sigma}, \quad u_0 = \left(\frac{\sigma c^2}{\varkappa_0} \right)^{1/\sigma},$$

$$\sigma = 2, \quad \varkappa_0 = 0.5, \quad c = 5, \quad h = 0.2, \quad \tau = 2 \cdot 10^{-4},$$

$$L = 10, \quad T = 1, \quad K(u) \frac{\partial u}{\partial x} \Big|_{x=L} = 0,$$

$$\text{точное решение: } u(x, t) = \begin{cases} [\sigma c \varkappa_0^{-1} (ct - x)]^{1/\sigma}, & x \leq ct, \\ 0, & x \geq ct. \end{cases}$$

Если вести внутренний итерационный процесс до выполнения условия $\|y_i^{(s+1)} - y_i^{(s)}\| \leq \varepsilon = 1e-9$ в евклидовой норме, то требуется от 3 до 5 итераций (рис. 3).

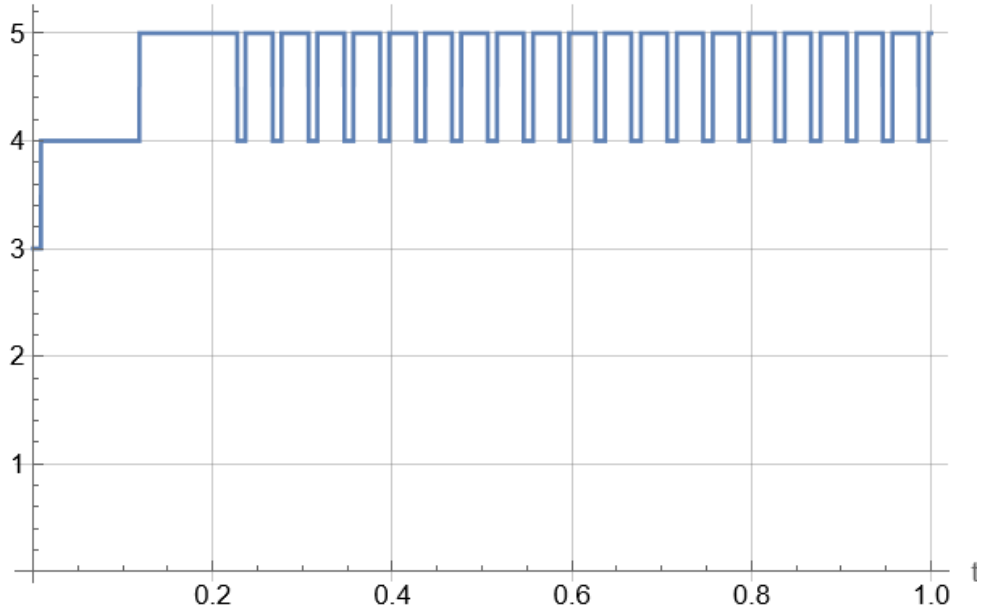


Рис. 3. Количество выполненных итераций для каждого временного слоя

8. Для случая $K = K(u)$ предложите способы организации внутреннего итерационного процесса или алгоритмы, заменяющие его.

Внутренний метод простой итерации можно представить в виде указанного ниже алгоритма.

- (а) Принимаем в качестве начального приближения y_i^j , $i = \overline{0, n}$, значения с предыдущего временного слоя y_i^{j-1} .
- (б) Считаем значения коэффициента теплопроводности в узлах текущего временного слоя: $K_i = K(y_i^j)$, $i = \overline{0, N}$.
- (с) Считаем значения $a_i = \frac{K(y_i^j) + K(y_{i-1}^j)}{2}$, $i = \overline{1, N}$.
- (д) Вычисляем коэффициенты трехдиагональной СЛАУ по следующим формулам:

$$\begin{aligned}
 A_i y_{i-1}^j - C_i y_i^j + B_i y_{i+1}^j &= -F_i, \quad i = \overline{1, N-1}, \\
 A_i &= \frac{a_i}{h}, \quad B_i = \frac{a_{i+1}}{h}, \quad C_i = \frac{c\rho h}{\tau} + \frac{a_i + a_{i+1}}{h}, \\
 F_i &= \frac{c\rho h}{\tau} y_i^{j-1}.
 \end{aligned}$$

В случае граничного условия I рода на левом конце мы принимаем $y_0^j = \phi_1(t)$, $A_1 = 0$ и делаем поправку к F_1 на величину $\frac{a_1}{h} y_0^j$. При граничных условиях II рода в СЛАУ можно добавить строку с номером 0 вида

$$-y_0^j + \varkappa y_1^j = -\nu, \quad \varkappa = \frac{a_1/h}{c\rho h/(2\tau) + a_1 h}, \quad \nu = \frac{c\rho h y_0^{j-1} + P(t_j)}{c\rho h/(2\tau) + a_1 h}.$$

Аналогично для условий I и II рода на правом конце.

- (е) Используя метод прогонки, находим новое приближение y_i^j ;
- (ф) Если не было выполнено нужно количество итераций внутреннего метода, то переходим обратно к пункту (б), иначе переходим на следующий временной слой.

Также вместо метода простой итерации можно использовать метод Ньютона. Для систем нелинейных уравнений вида $F(x) = 0$ его итерационная формула записывается как

$$F'(x^k)(x - x^k) = -F(x^k).$$

Для неявной схемы уравнения теплопроводности при граничных условиях I рода

$$F_i(y) = \frac{a(y_i)}{h} y_{i-1} - \left(\frac{c\rho h}{\tau} + \frac{a(y_{i+1}) + a(y_i)}{h} \right) y_i + \frac{a(y_{i+1})}{h} y_{i+1} - \frac{c\rho h}{\tau} y_i^{j-1},$$

$$a(y_k) = \frac{K(y_k) + K(y_{k-1})}{2}, \quad i = \overline{1, N-1}.$$

Как и в случае метода простой итерации при заданных границах I рода y_0 и y_N считаются известными и не входят в систему уравнений как переменные, требующие определения.

Заметим, что т.к. в i -ом уравнении участвуют только переменные y_{i-1} , y_i и y_{i+1} , то матрица Якоби решаемой системы будет трехдиагональной. Таким образом, для решения СЛАУ итерационной формулы можно также применять метод прогонки. Распишем коэффициенты указанной матрицы для $a(y_k) = \frac{K(y_k) + K(y_{k-1})}{2}$:

$$\begin{aligned} \frac{\partial F_i}{\partial y_{i-1}} &= \frac{1}{h} \frac{\partial}{\partial y_{i-1}} (a(y_i) y_{i-1}) - \frac{1}{h} \frac{\partial a(y_i)}{\partial y_{i-1}} y_i, \quad \frac{\partial a(y_i)}{\partial y_{i-1}} = \frac{1}{2} K'(y_{i-1}), \\ \frac{\partial F_i}{\partial y_{i-1}} &= \frac{1}{2h} K'(y_{i-1}) (y_{i-1} - y_i) + \frac{a(y_i)}{h}, \\ \frac{\partial F_i}{\partial y_{i+1}} &= \frac{1}{2h} K'(y_{i+1}) (y_{i+1} - y_i) + \frac{a(y_{i+1})}{h}, \\ \frac{\partial F_i}{\partial y_i} &= \frac{K'(y_i)}{2h} (y_{i-1} + y_{i+1}) - \frac{c\rho h}{\tau} - \frac{a(y_{i+1}) + a(y_i)}{h} - \frac{K'(y_i)}{h} y_i, \\ \frac{\partial F_i}{\partial y_i} &= \frac{K'(y_i)}{2h} (y_{i-1} - 2y_i + y_{i+1}) - \frac{c\rho h}{\tau} - \frac{a(y_{i+1}) + a(y_i)}{h}. \end{aligned}$$

2. Результаты

2.1. Проверка консервативности

$$K \equiv 3, \quad c\rho = 1, \quad L = 20, \quad T = 1, \quad h = 0.55, \quad \tau = 0.005,$$

$$-K(u) \frac{\partial u}{\partial x} \Big|_{x=0} = K(u) \frac{\partial u}{\partial x} \Big|_{x=L} = 0.$$

При $\sigma = 0, 0.5$ и 1 график разности $\left| \frac{h}{2} y_0^{j+1} + h \sum_{i=1}^{N-1} y_i^{j+1} + \frac{h}{2} y_N^{j+1} - \frac{h}{2} y_0^j - h \sum_{i=1}^{N-1} y_i^j - \frac{h}{2} y_N^j \right|$ представлен на рис. 4, 5 и 6 соответственно.

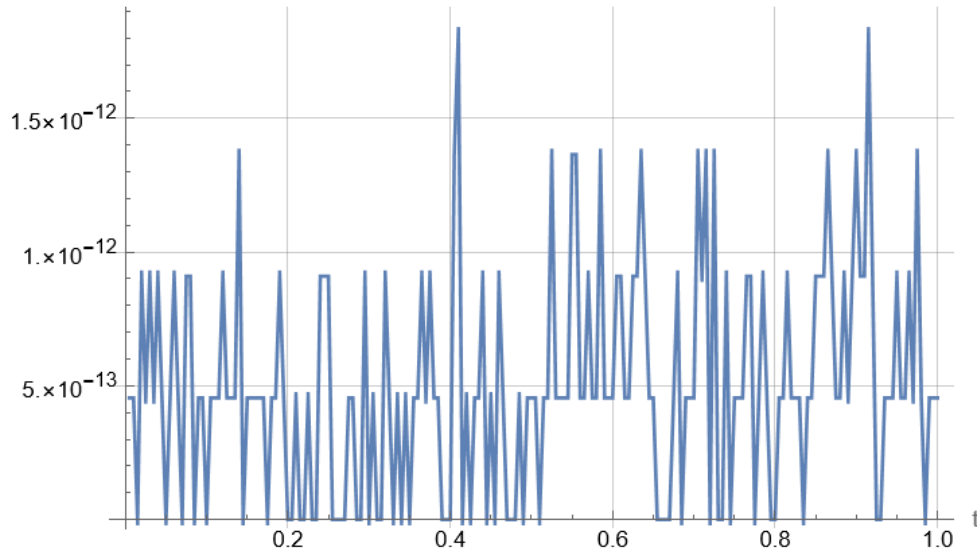


Рис. 4. График разности при $\sigma = 0$

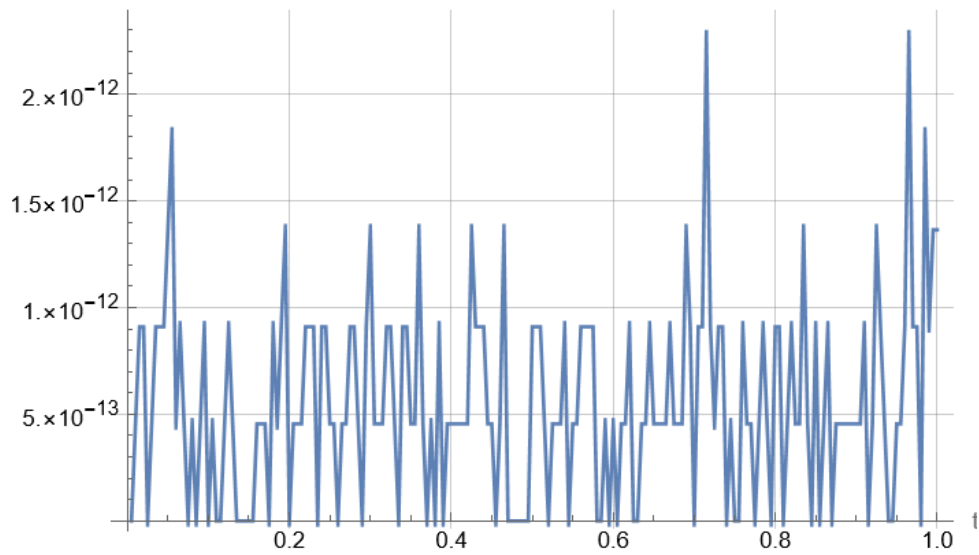
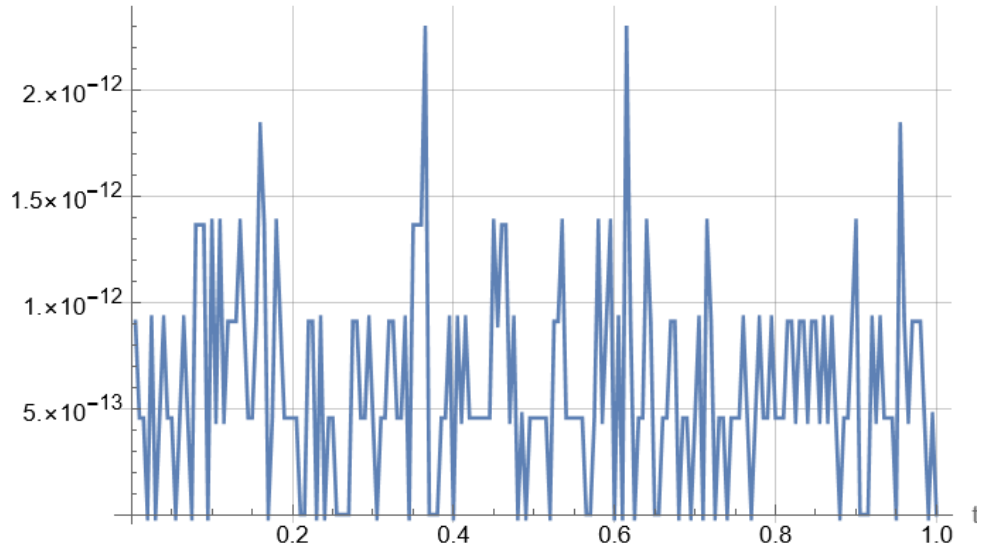


Рис. 5. График разности при $\sigma = 0.5$

Рис. 6. График разности при $\sigma = 1$

2.2. График погрешности в случае $K(u)$

$$\frac{\partial u}{\partial t} = \frac{\partial}{\partial t} \left(\kappa_0 u^\sigma \frac{\partial u}{\partial x} \right), \quad x > 0, \quad t > 0,$$

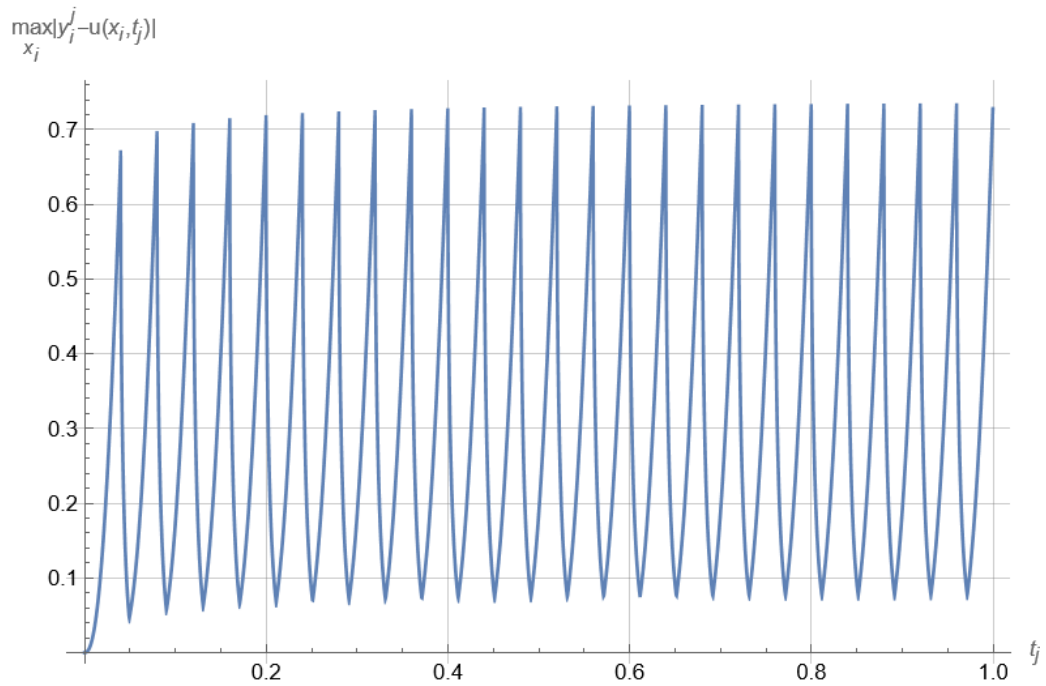
$$u(x, 0) = 0, \quad u(0, t) = u_0 t^{1/\sigma}, \quad u_0 = \left(\frac{\sigma c^2}{\kappa_0} \right)^{1/\sigma},$$

$$\sigma = 2, \quad \kappa_0 = 0.5, \quad c = 5, \quad h = 0.2, \quad \tau = 2 \cdot 10^{-4},$$

$$L = 10, \quad T = 1, \quad K(u) \frac{\partial u}{\partial x} \Big|_{x=L} = 0,$$

$$\text{точное решение: } u(x, t) = \begin{cases} [\sigma c \kappa_0^{-1} (ct - x)]^{1/\sigma}, & x \leq ct, \\ 0, & x \geq ct. \end{cases}$$

График погрешности представлен на рис. 7. Такое поведение графика можно объяснить тем, что при $x = ct$ производная точного решения терпит разрыв. Получаем, что в точках, близких к $x = ct$, погрешность аппроксимации резко возрастает.

Рис. 7. График погрешности численного решения в случае $K(u)$

2.3. Оценка порядка сходимости

Таблица 1. Порядок сходимости ($\sigma = 0$), пример неустойчив

τ, h	AbsErr(τ, h)	Δ	$\log_q \Delta$
0.5, 0.5			
—, —			
—, —			
—, —			
—, —			
—, —			

Таблица 2. Порядок сходимости ($\sigma = 1$)

τ, h	AbsErr(τ, h)	Δ	$\log_q \Delta$
0.05, 0.5	0. 0.014611	—	—
0.0125, 0.25	0.00390149	0.267024	1.90496
0.003125, 0.125	0.000990189	0.253798	1.97825
0.00078125, 0.0625	0.000248762	0.251227	1.99728
0.000195313, 0.03125	6.23079e-05	0.250472	1.99728
4.88281e-05, 0.015625	1.57214e-05	0.252317	1.98669

Таблица 3. Порядок сходимости ($\sigma = \frac{1}{2}$)

τ, h	AbsErr(τ, h)	Δ	$\log_q \Delta$
0.05, 0.5	0. 0.00678697	—	—
0.0125, 0.25	0.00178249	0.262634	1.92888
0.003125, 0.125	0.000451189	0.253123	1.98209
0.00078125, 0.0625	0.000113204	0.250902	1.9948
0.000195313, 0.03125	2.83079e-05	0.250061	1.99965
4.88281e-05, 0.015625	7.52347e-06	0.265773	1.91173

Список использованных источников

1. *Галанин М.П., Савенков Е.Б.* Методы численного анализа математических моделей. М.: Изд-во МГТУ им. Н.Э. Баумана, 2010. 592 с.
2. *Калиткин Н.Н.* Численные методы. М.: Наука, 1978. 512 с.
3. *Годунов С.К., Рябенский В.С.* Разностные схемы (введение в теорию). М.: Наука, 1977. 440 с.